

## 2 ПРАКТИЧЕСКАЯ РАБОТА «КИНЕМАТИЧЕСКИЙ АНАЛИЗ ПЛОСКИХ РЫЧАЖНЫХ МЕХАНИЗМОВ»

### 2.1 Цель работы

Углубление и закрепление теоретических знаний, развитие умений и практических навыков студентов в области кинематического анализа плоских рычажных механизмов. Овладение практикой кинематического исследования механизмов графическими методами.

### 2.2 Краткие теоретические сведения

Кинематическое исследование рычажных механизмов включает определение положений, скоростей и ускорений звеньев и тех характерных точек (центров масс, кинематических пар и других) механизма, для которых необходимо количественное описание движения при проектировании.

Кинематический анализ выполняют аналитическими или графическими методами. Аналитические методы разнообразны, точны, но расчетные зависимости, определяющие линейные и угловые координаты, скорости и ускорения точек подвижных звеньев механизма, сложны и трудоемки в решении.

Графические методы кинематического исследования механизмов, позволяющие определить положения звеньев, скорости и ускорения точек и звеньев, получили широкое распространение. Это обусловлено быстротой, удобством и наглядностью решения прикладных вопросов проектирования. Точность графических методов достаточна для решения многих практических задач.

Графический метод, основанный на использовании планов положений, скоростей и ускорений, особенно удобен при проведении кинематического анализа плоских рычажных механизмов.

### 2.3 Исходные данные для расчета

Кинематическая схема рычажного механизма (Рисунок 2.1), размеры его звеньев, положение (угол  $\varphi$ ) и угловая скорость ( $\omega_1$ ) начального звена механизма выбираются из таблицы 2.1 в соответствии с номером варианта, закрепленным за студентом.

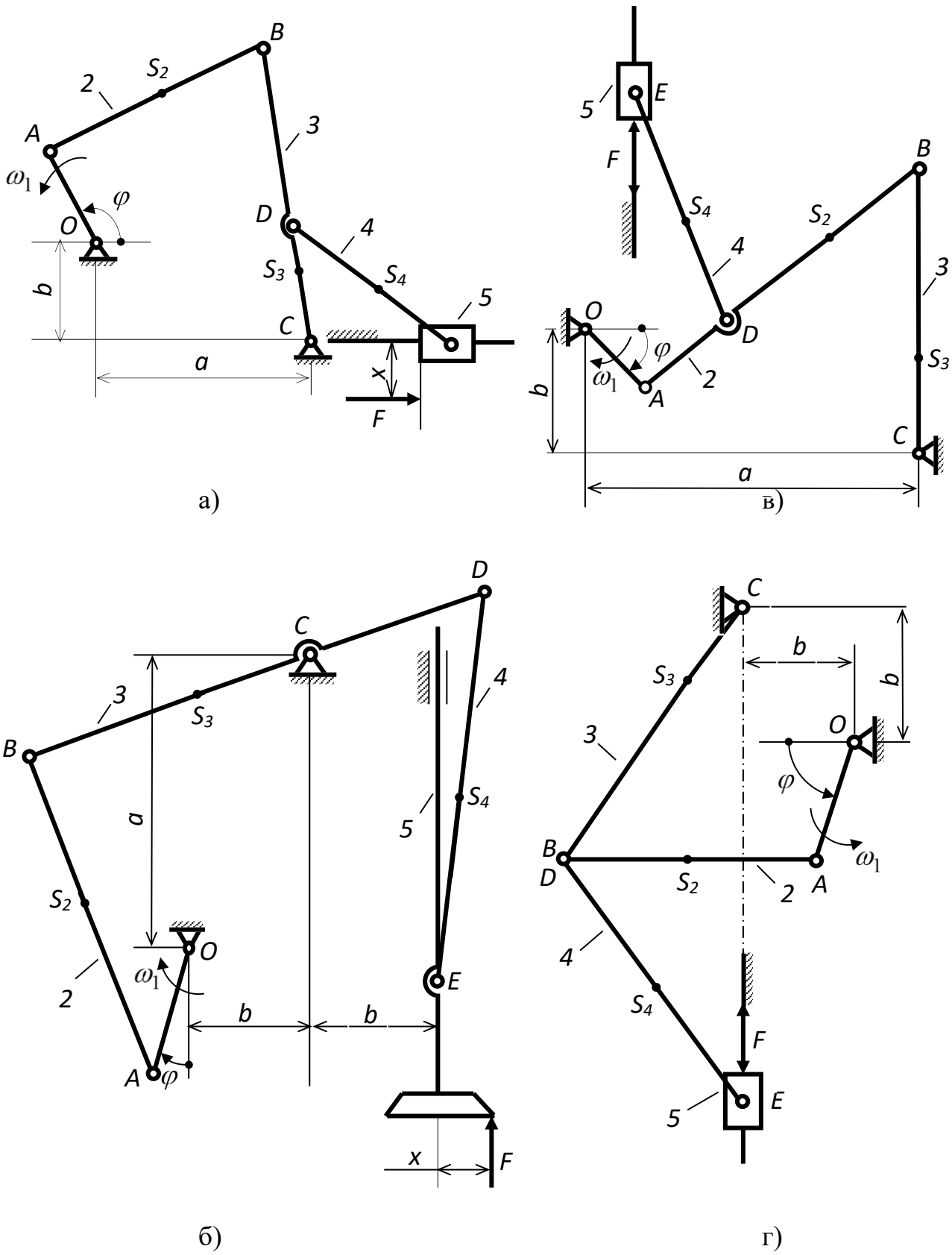


Рисунок 2.1 – Плоские рычажные механизмы

Таблица 2.1 – Варианты исходных данных к работе № 2

Номер варианта	Схема рычажного механизма	$\varphi$ , град.	$\omega_1$ с <sup>-1</sup>	Размеры звеньев, м		
				$l_{OA}$	$l_{CD}$ $l_{AD}$ $x$	$l_{AB}; l_{BC}; l_{DE}$ Размеры $a, b$
1	Рисунок 2.1,а	50	40	0,06	$x=0,4l_{OA}$  $l_{CD}=0,5l_{BC}$	$a=2,2l_{OA};$  $b=0,5a;$  $l_{AB}=l_{BC}=l_{DE}=1,2a$  $l_{CS_3} = 0,3l_{BC};$  $l_{BS_2} = 0,4l_{AB};$  $l_{DS_4} = 0,5l_{DE}.$
2		80	50	0,08		
3		110	60	0,1		
4	Рисунок 2.1,б	30	40	0,1		
5		60	50	0,06		
6		90	60	0,08		
7	Рисунок 2.1,в	20	40	0,06	$l_{AD}=0,3l_{AB}$	
8		70	50	0,08		
9		120	60	0,1		
10	Рисунок 2.1,г	50	40	0,08	—	
11		100	50	0,1		
12		150	60	0,05		
13	Рисунок 2.1,а	140	35	0,1	$x=0,5l_{OA}$  $l_{CD}=0,6l_{BC}$	
14		170	45	0,08		
15		200	25	0,06		
16	Рисунок 2.1,б	120	35	0,1		
17		150	45	0,06		
18		0	25	0,08		
19	Рисунок 2.1,в	170	25	0,06	$l_{AD}=0,4l_{AB}$	
20		220	35	0,08		
21		270	45	0,1		
22	Рисунок 2.1,г	200	25	0,08	—	
23		250	35	0,06		
24		300	45	0,1		

## 2.4 Пример расчета

Ниже, в качестве примера, выполнено кинематическое исследование плоского рычажного механизма, изображенного на рисунке 2.2 по заданным таблицей 2.2 исходным параметрам.

Таблица 2.2 – Исходные данные для расчета

Угол $\varphi$ , град.	Угловая скорость $\omega_1$ , с <sup>-1</sup>	Длины звеньев, м	Положение центра масс звеньев, м	Координаты опор, м
$45^\circ$	100	$l_{OA}=0,1; l_{AB}=l_{BC}=0,2;$ $l_{CD}=0,28; l_{DE}=0,35$	$l_{AS_2} = \frac{1}{3} l_{AB}$ $l_{BS_3} = \frac{1}{3} l_{BC}$ $l_{DS_4} = \frac{1}{3} l_{DE}$	$l_1=0,15$ $l_2=0,15$

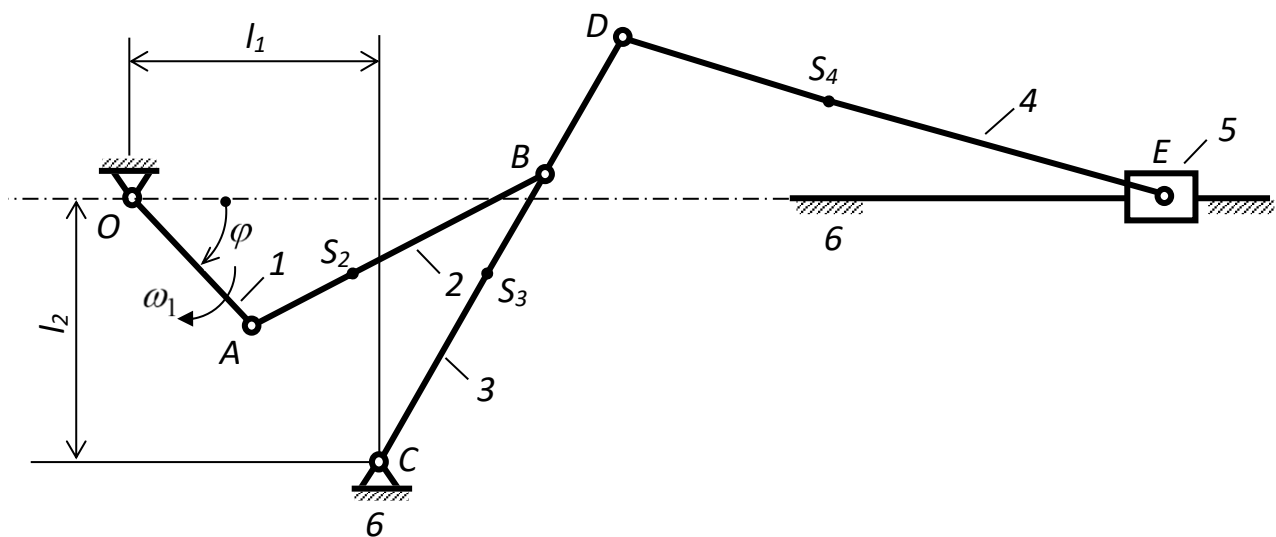


Рисунок 2.2 – Схема плоского рычажного механизма

Кинематический анализ выполнен графическим методом с использованием планов положений, скоростей и ускорений (Рисунок 2.3).

### 2.4.1 План механизма

Изображение кинематической схемы механизма, соответствующее определенному положению начального звена (угол  $\varphi$ ), называется планом механизма.

Построение плана механизма проводим следующим образом.

2.4.1.1 Выбираем место расположения стойки начального звена механизма, затем с помощью транспортира, откладываем заданное значение угла  $\varphi$ , последний определяет направление кривошипа  $OA$  (Рисунок 2.3, а).

2.4.1.2 Произвольно задаемся чертежным размером кривошипа  $OA$  (например, 20...60 мм), затем определяем масштабный коэффициент длины

$$\mu_l = \frac{l_{OA}}{OA} = \frac{0,1\text{м}}{20\text{мм}} = 0,005 \frac{\text{м}}{\text{мм}}$$

и находим чертежные размеры остальных звеньев:

$$AB = BC = \frac{l_{AB}}{\mu_l} = \frac{0,2}{0,005} = 40 \text{ мм};$$

$$h_1 = h_2 = \frac{l_1}{\mu_l} = \frac{0,15}{0,005} = 30 \text{ мм},$$

аналогично

$$CD = 56 \text{ мм}; DE = 70 \text{ мм}; AS_2 = BS_3 = 13,3 \text{ мм}; DS_4 = 23,3 \text{ мм}.$$

2.4.1.3 Отмечаем на чертеже положение вращательной кинематической пары  $C$  и проводим линию движения ползуна  $5$ .

2.4.1.4 С помощью циркуля, начиная от точки  $O$ , методом засечек последовательно откладывая чертежные размеры всех звеньев механизма, определяют положения кинематических пар  $A, B, D, E$  и центров масс  $S_2, S_3, S_4$  звеньев 2, 3 и 4 соответственно.

2.4.1.5 Прорисовав стойки, кинематические пары и все звенья, получим искомый план механизма (Рисунок 2.3, а).

## 2.4.2 П л а н с к о р о с т е й

Скорость точки  $A$  звена  $I$  по модулю равная

$$g_A = \omega_1 \cdot l_{OA} = 100 \cdot 0,1 = 10 \text{ м} \cdot \text{с}^{-1}$$

направлена перпендикулярно кривошипу  $OA$  в сторону его вращения (Рисунок 2.3). Отрезок  $(Pa)$ , изображающий скорость  $g_A$  точки  $A$  кривошипа и равный

$$Pa = \frac{g_A}{\mu_g} = \frac{10}{0,25} = 40 \text{ мм},$$

где  $\mu_g = 0,25 \frac{\text{м} \cdot \text{с}^{-1}}{\text{мм}}$  - масштабный коэффициент плана скоростей, откладываем перпендикулярно звену  $OA$  из произвольно выбранной точки  $P$  (полюс плана скоростей) (Рисунок 2.3, б).

Кинематическая пара  $B$  образована звеньями 2 и 3. Шатун 2 совершает плоско-параллельное, а коромысло 3 – вращательное движения. Скорость точки  $B$  можно определить графически, решая систему векторных уравнений:

$$\bar{g}_B = \bar{g}_A + \bar{g}_{BA} \quad \text{и} \quad \bar{g}_B = \bar{g}_C + \bar{g}_{BC} \quad (2.1)$$

Вектор относительной скорости  $\bar{g}_{BA}$  перпендикулярен линии  $AB$ , а вектор скорости  $\bar{g}_{BC}$  - перпендикулярен линии  $BC$  на плане механизма (Рисунок 2.3, а). Точка  $C$  принадлежит стойке, поэтому  $g_C = 0$ ; приравнивая правые части уравнения (2.1) получим:

$$\bar{g}_A + \bar{g}_{BA} = \bar{g}_{BC}. \quad (2.2)$$

Отрезки  $(ab)$  и  $(Pb)$ , на лучах, проведенных через точки  $a$  и  $P$  плана скоростей (Рисунок 2.3, б) в направлениях скоростей  $\bar{g}_{BA}$  и  $\bar{g}_B$  определяют модули этих скоростей:

$$g_B = g_{BC} = (Pb) \cdot \mu_g = 68 \cdot 0,25 = 17 \text{ м} \cdot \text{с}^{-1}; \quad (2.3)$$

$$g_{BA} = (ab) \cdot \mu_g = 69 \cdot 0,25 = 17,3 \text{ м} \cdot \text{с}^{-1}.$$

Векторы  $\bar{g}_{BA}$  и  $\bar{g}_B$  определяют величины и направления угловых скоростей звеньев 2 и 3

$$\omega_2 = \frac{g_{BA}}{l_{AB}} = \frac{17,3}{0,20} = 86,5 \text{ с}^{-1}; \quad (2.4)$$

$$\omega_3 = \frac{g_{BC}}{l_{BC}} = \frac{17,0}{0,20} = 85 \text{ с}^{-1}.$$

Направление скорости точки  $D$  совпадает с направлением скорости точки  $B$ , так как они принадлежат одному звену, совершающему вращательное движение. Модуль скорости  $g_D$  равен

$$g_D = \omega_3 \cdot l_{DC} = 85 \cdot 0,28 = 23,75 \text{ м} \cdot \text{с}^{-1}.$$

Скорость  $g_D$  представлена на плане скоростей отрезком

$$Pd = \frac{g_D}{\mu_g} = \frac{23,75}{0,25} = 95 \text{ мм}.$$

(Скорость  $g_D$  возможно определить также с помощью теоремы подобия).

Наконец, скорость точки  $E$  ползуна 5 определится из векторного уравнения:

$$\bar{g}_E = \bar{g}_D + \bar{g}_{ED}, \quad (2.5)$$

здесь  $\bar{g}_{ED} \perp DE$ , а  $\bar{g}_E \parallel$  линии  $x-x$ .

Через точку  $d$  плана скоростей проводим луч, перпендикулярный линии  $DE$ , а через полюс  $P$  – луч параллельный линии  $x-x$ , точка  $e$  пересечения этих лучей определит величины отрезков  $(de)$  и  $(Pe)$  и модули скоростей  $\bar{g}_{ED}$  и  $\bar{g}_E$ :

$$\begin{aligned} g_{ED} &= (de) \cdot \mu_g = 49 \cdot 0,25 = 12,25 \text{ м} \cdot \text{с}^{-1}, \\ g_E &= (Pe) \cdot \mu_g = 95 \cdot 0,25 = 23,75 \text{ м} \cdot \text{с}^{-1}. \end{aligned} \tag{2.6}$$

Вектор  $\bar{g}_{ED}$  определит величину и направление угловой скорости  $\omega_4$  звена  $ED$

$$\omega_4 = \frac{g_{ED}}{l_{ED}} = \frac{12,25}{0,35} = 35 \text{ с}^{-1}.$$

Положение центров масс  $S_2$ ,  $S_3$  и  $S_4$  подвижных звеньев на линиях плана скоростей находятся по правилу подобия. Например, центр масс  $S_2$  шатуна  $AB$  должен лежать на линии  $(ab)$  плана скоростей и делить отрезок  $(ab)$  в том же отношении, в каком точка  $S_2$  делит отрезок  $AB$  шатуна 2, т.е.

$$\frac{(aS_2)}{(ab)} = \frac{l_{AS_2}}{l_{AB}}, \quad \text{откуда} \quad (aS_2) = (ab) \cdot \frac{l_{AS_2}}{l_{AB}} = 69 \cdot \frac{1}{3} = 23 \text{ мм};$$

Аналогично

$$(bS_3) = (bc) \cdot \frac{l_{BS_3}}{l_{BC}} = 68 \cdot \frac{1}{3} = 22,7 \text{ мм};$$

$$(dS_4) = (de) \cdot \frac{l_{DS_4}}{l_{DE}} = 49 \cdot \frac{1}{3} = 16,3 \text{ мм}.$$

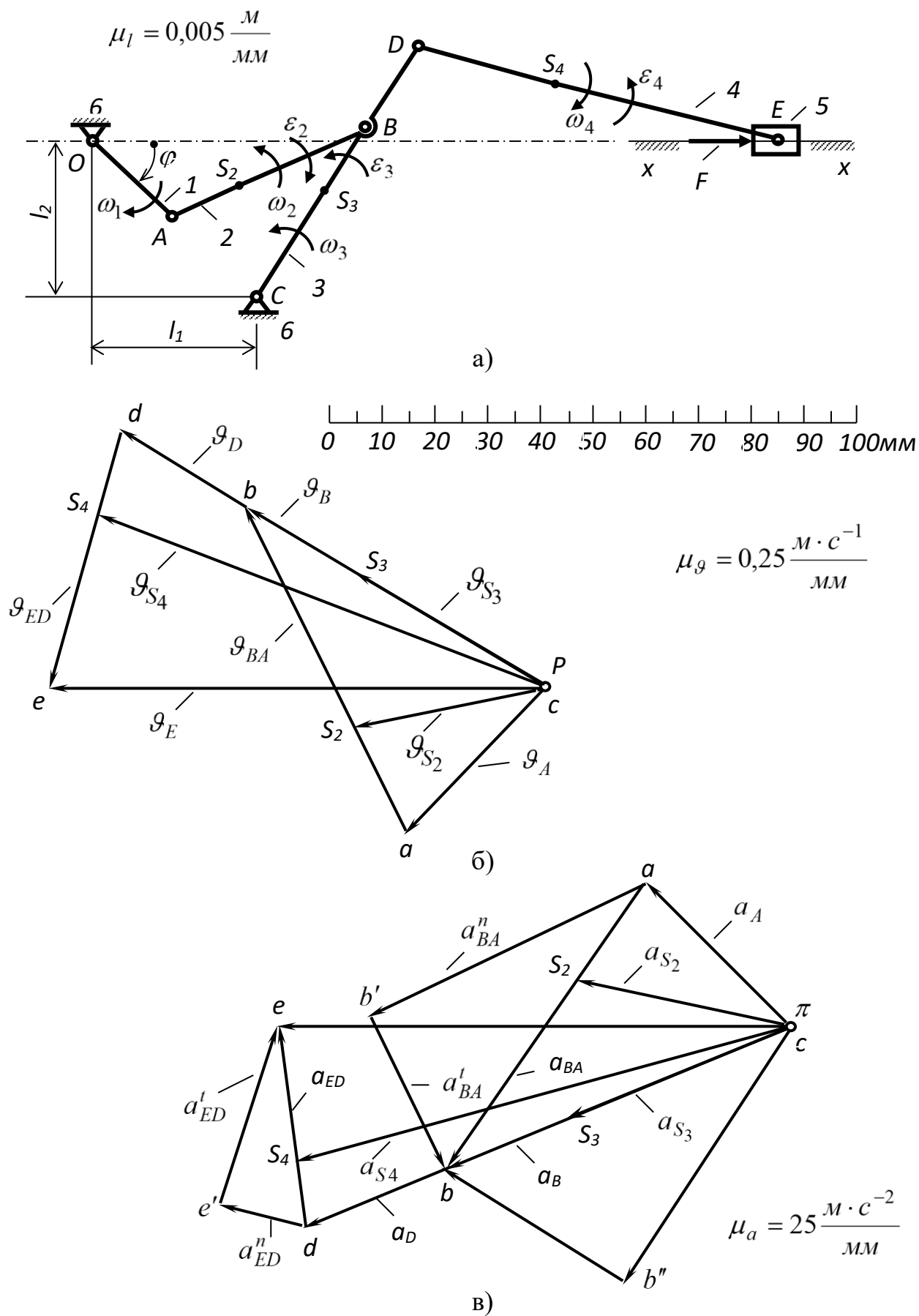


Рисунок 2.3 – Планы положений, скоростей и ускорений

Отложив расчетные значения отрезков  $(aS_2)$ ,  $(bS_3)$ ,  $(dS_4)$  на соответствующих линиях плана скоростей, определяем модули скоростей центров масс:



$$\mathcal{G}_{S_2} = (PS_2) \cdot \mu_g = 39 \cdot 0,25 = 9,75 \text{ м} \cdot \text{с}^{-1};$$

$$\mathcal{G}_{S_3} = (PS_3) \cdot \mu_g = 45,3 \cdot 0,25 = 11,3 \text{ м} \cdot \text{с}^{-1}$$

$$\mathcal{G}_{S_4} = (PS_4) \cdot \mu_g = 91 \cdot 0,25 = 22,7 \text{ м} \cdot \text{с}^{-1}.$$

Направления скоростей  $\mathcal{G}_{S_2}$ ,  $\mathcal{G}_{S_3}$  и  $\mathcal{G}_{S_4}$  определяют соответственно векторы  $\overline{PS_2}$ ,  $\overline{PS_3}$  и  $\overline{PS_4}$ .

Расчетные значения угловых скоростей звеньев и линейных скоростей точек, обозначенных на плане механизма (Рисунок 2.3, а), заносим в таблицу 2.3.

### 2.4.3 План ускорений

Кривошип  $OA$  вращается с постоянной угловой скоростью  $\omega_1$ . Следовательно ускорение точки  $A$  кривошипа формирует только ее нормальная (центростремительная) составляющая, по модулю равная

$$a_A = \omega_1^2 \cdot l_{OA} = 100^2 \cdot 0,1 = 1000 \text{ м} \cdot \text{с}^{-2} \quad (2.7)$$

и направленная параллельно линии  $OA$  от точки  $A$  к  $O$ .

Задавшись масштабным коэффициентом  $\mu_a = 25 \frac{\text{м} \cdot \text{с}^{-2}}{\text{мм}}$  плана ускорений, откладываем из произвольной точки  $\pi$  (полюс плана ускорений) (Рисунок 2.3, в) отрезок  $(\pi a)$ , параллельный кривошипу  $OA$  и равный

$$(\pi a) = \frac{a_A}{\mu_a} = \frac{1000}{25} = 40 \text{ мм}.$$

Вектор  $(\overline{\pi a})$  изображает ускорение  $a_A$  на плане ускорений.

Ускорение точки  $B$  определит система двух векторных уравнений:

$$\left. \begin{aligned} \bar{a}_B &= \bar{a}_A + \bar{a}_{BA} = \bar{a}_A + \bar{a}_{BA}^n + \bar{a}_{BA}^t \\ \bar{a}_B &= \bar{a}_C + \bar{a}_{BC} = \bar{a}_{BC}^n + \bar{a}_{BC}^t \end{aligned} \right\} \quad (2.8)$$

Приравнивая правые части, имеем

$$\bar{a}_A + \bar{a}_{BA}^n + \bar{a}_{BA}^t = \bar{a}_{BC}^n + \bar{a}_{BC}^t \quad (2.9)$$

Нормальные ускорения  $\bar{a}_{BA}^n$  и  $\bar{a}_{BC}^n$  представлены на плане ускорений соответственно отрезками  $(ab')$  и  $(\pi b'')$

$$(ab') = \frac{a_{BA}^n}{\mu_a} = \frac{\omega_2^2 \cdot l_{AB}}{\mu_a} = \frac{86,5^2 \cdot 0,2}{25} = 59,8 \text{ мм};$$

$$(\pi b'') = \frac{a_{BC}^n}{\mu_a} = \frac{\omega_3^2 \cdot l_{BC}}{\mu_a} = \frac{85^2 \cdot 0,2}{25} = 57,8 \text{ мм},$$

отложенными параллельно соответствующим звеньям  $AB$  и  $BC$  в направлениях от точки  $B$  к точке  $A$  и от точки  $B$  к точке  $C$  соответственно.

Модули тангенциальных ускорений  $\bar{a}_{BA}^t$  и  $\bar{a}_{BC}^t$  определяют отрезки  $(bb')$  и  $(bb'')$  прямых, проведенных нормально к звеньям  $AB$  и  $BC$  и проходящих через соответствующие точки  $b'$  и  $b''$  плана ускорений

$$\bar{a}_{BA}^t = (bb') \cdot \mu_a = 32 \cdot 25 = 800 \text{ м} \cdot \text{с}^{-2};$$

$$\bar{a}_{BC}^t = (bb'') \cdot \mu_a = 41 \cdot 25 = 1025 \text{ м} \cdot \text{с}^{-2}.$$

Отрезки  $(ab)$  и  $(\pi b)$  (Рисунок 2.3, в) определяют величины и направления ускорений  $\bar{a}_{BA}$  и  $\bar{a}_{BC}$ :

$$\bar{a}_{BA} = (ab) \cdot \mu_a = 68 \cdot 25 = 1700 \text{ м} \cdot \text{с}^{-2};$$

$$\bar{a}_{BC} = \bar{a}_B = (\pi b) \cdot \mu_a = 71 \cdot 25 = 1775 \text{ м} \cdot \text{с}^{-2}.$$

Точки  $B$ ,  $C$  и  $D$  расположены на звене 3, поэтому на основании теоремы подобия возможно определить отрезок  $(\pi d)$  выражающий в масштабе  $\mu_a$  модуль ускорений  $\bar{a}_D$

$$\frac{(\pi b)}{(\pi d)} = \frac{l_{BC}}{l_{CD}},$$

откуда

$$(\pi d) = (\pi b) \cdot \frac{l_{CD}}{l_{BC}} = 71 \cdot \frac{0,28}{0,2} = 99,4 \text{ мм},$$

$$\bar{a}_D = (\pi d) \cdot \mu_a = 99,4 \cdot 25 = 2485 \text{ м} \cdot \text{с}^{-2}.$$

Наконец, ускорение точки  $E$  ползуна возможно определить из векторного уравнения:

$$\bar{a}_E = \bar{a}_D + \bar{a}_{ED} = \bar{a}_D + \bar{a}_{ED}^n + \bar{a}_{ED}^t. \quad (2.10)$$

В уравнении (2.10) известны направления всех векторов ( $\bar{a}_E // x-x$ ,  $\bar{a}_{ED}^n // DE$ ,  $\bar{a}_{ED}^t \perp DE$ ) и модули ускорений  $\bar{a}_D$  и  $\bar{a}_{ED}^n$

$$a_{ED}^n = \omega_4^2 \cdot l_{ED} = 35^2 \cdot 0,35 = 428,75 \text{ м} \cdot \text{с}^{-2}.$$

Ускорение  $\bar{a}_{ED}^n$  на плане ускорений представлено отрезком  $(de')$ , проведенным параллельно звену  $DE$  и отложенным в направлении от точки  $E$  к точке  $D$  величиной

$$(de') = \frac{a_{ED}^n}{\mu_a} = \frac{428,75}{25} = 17,2 \text{ мм.}$$

В соответствии с уравнением (2.10) проводим через полюс  $\pi$  луч  $(\pi e)$  параллельный ходу ползуна (линии  $x-x$ ), а через точку  $e'$  - луч  $(e'e)$  перпендикулярный линии  $DE$  шатуна 4. Отрезки  $(\pi e)$  и  $(e'e)$  (Рисунок 2.3, в) определяют модули ускорений  $\bar{a}_E$  и  $\bar{a}_{ED}^t$

$$\bar{a}_E = (\pi e) \cdot \mu_a = 96 \cdot 25 = 2400 \text{ м} \cdot \text{с}^{-2};$$

$$\bar{a}_{ED}^t = (e'e) \cdot \mu_a = 35 \cdot 25 = 1225 \text{ м} \cdot \text{с}^{-2}.$$

Центры масс  $S_2$ ,  $S_3$  и  $S_4$  расположены соответственно на линиях  $AB$ ,  $BC$  и  $DE$  (Рисунок 2.3, а) подвижных звеньев механизма. Следовательно, точки  $S_2$ ,  $S_3$  и  $S_4$  плана ускорения находятся на одноименных линиях  $(ab)$ ,  $(bc)$  и  $(de)$ . Положения точек находим по правилу подобия:

$$\frac{(aS_2)}{(ab)} = \frac{l_{AS_2}}{l_{AB}},$$

откуда

$$(aS_2) = (ab) \cdot \frac{l_{AS_2}}{l_{AB}} = 68 \cdot \frac{1}{3} = 22,7 \text{ мм};$$

аналогично

$$(bS_3) = (bc) \cdot \frac{l_{BS_3}}{l_{BC}} = 71 \cdot \frac{1}{3} = 23,7 \text{ мм};$$

$$(dS_4) = (de) \cdot \frac{l_{DS_4}}{l_{DE}} = 38 \cdot \frac{1}{3} = 12,7 \text{ мм}.$$

Отложив расчетные значения отрезков  $(aS_2)$ ,  $(bS_3)$ ,  $(dS_4)$  на соответствующих линиях плана ускорений, определяем модули ускорений центров масс:

$$a_{S_2} = (\pi S_2) \cdot \mu_a = 41 \cdot 25 = 1025 \text{ м} \cdot \text{с}^{-2};$$

$$a_{S_3} = (\pi S_3) \cdot \mu_a = 47 \cdot 25 = 1175 \text{ м} \cdot \text{с}^{-2};$$

$$a_{S_4} = (\pi S_4) \cdot \mu_a = 97 \cdot 25 = 2425 \text{ м} \cdot \text{с}^{-2}.$$

Направления ускорений центров масс  $\bar{a}_{S_2}$ ,  $\bar{a}_{S_3}$  и  $\bar{a}_{S_4}$  определяют векторы  $\overline{\pi S_2}$ ,  $\overline{\pi S_3}$  и  $\overline{\pi S_4}$  плана ускорений. Модули и направления касательных (тангенциальных) ускорений  $\bar{a}_{BA}^t$ ,  $\bar{a}_{BC}^t$  и  $\bar{a}_{ED}^t$  определяют соответствующие векторы  $b'b$ ,  $b''b$  и  $e'e$  плана ускорений:

$$\bar{a}_{BA}^t = (b'b) \cdot \mu_a = 32 \cdot 25 = 800 \text{ м} \cdot \text{с}^{-2};$$

$$\bar{a}_{BC}^t = (b''b) \cdot \mu_a = 41 \cdot 25 = 1025 \text{ м} \cdot \text{с}^{-2};$$

$$\bar{a}_{ED}^t = (e'e) \cdot \mu_a = 35 \cdot 25 = 875 \text{ м} \cdot \text{с}^{-2},$$

последние в свою очередь позволяют определить направления и величины угловых ускорений подвижных звеньев механизма:

$$\varepsilon_2 = \frac{a_{BA}^t}{l_{BA}} = \frac{800}{0,2} = 4000 \text{ с}^{-2};$$

$$\varepsilon_3 = \frac{a_{BC}^t}{l_{BC}} = \frac{1025}{0,2} = 5125 \text{ с}^{-2};$$

$$\varepsilon_4 = \frac{a_{ED}^t}{l_{ED}} = \frac{875}{0,35} = 2500 \text{ с}^{-2}.$$

Направления угловых ускорений  $\varepsilon_2$ ,  $\varepsilon_3$ ,  $\varepsilon_4$  показаны стрелками на плане механизма (Рисунок 2.3, а). Угловое ускорение  $\varepsilon_1$  кривошипа равно нулю, так как  $\omega_1 = \text{const}$ .

Расчетные значения угловых ускорений звеньев и линейных ускорений точек, обозначенных на схеме механизма (Рисунок 2.3,а) заносим в таблицу 2.3.

Таблица 2.3 – Расчетные значения скоростей и ускорений

Кинематический параметр	Обозначение характерных точек и подвижных звеньев механизма											
	A	B	C	D	E	S <sub>2</sub>	S <sub>3</sub>	S <sub>4</sub>	OA	AB	CD	DE
1. Линейные скорости точек, м·с <sup>-1</sup>	10	17	0	23,75	23,75	9,75	11,3	22,7	-	-	-	-
2. Угловые скорости звеньев, с <sup>-1</sup>	-	-	-	-	-	-	-	-	100	86,5	85,0	35,0
3. Линейные ускорения точек, м·с <sup>-2</sup>	1000	1775	0	2485	2400	1025	1175	2425	-	-	-	-
4. Угловые ускорения звеньев, с <sup>-2</sup>	-	-	-	-	-	-	-	-	0	4000	5125	2500